

# Weekly Notes for CTF

Week 4

Astrageldon

2023-12-15

~~[REDACTED]~~ 竟然说我的笔记很干 😬 那怎么办好呢

对了，那就叫几辆消防车来洒点水吧 🚒

哔嘟哔嘟 🚒 🚒 🚒 🚒 🚒 🚒 🚒 哔嘟哔嘟



# 1 Misc

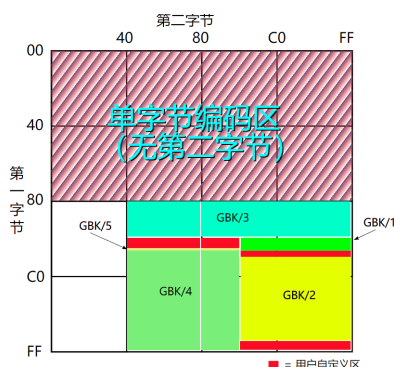
## 1.1 GBK Mojibake

有时，我们会神奇地发现，一些本应显示中文的地方出现了一堆奇奇怪怪的字符。



这些字符时常是由拉丁字母以及一些数字符号构成的(看上去很神秘)。我们注意到 GBK 的编码方式：

GBK的编码范围				
范围	第1字节组	第2字节组	编码数	字数
水準GBK/1	A1 - A9	A1 - FE	846	717
水準GBK/2	B0 - F7	A1 - FE	6,768	6,763
水準GBK/3	81 - A0	40 - FE (7F 除外)	6,080	6,080
水準GBK/4	AA - FE	40 - A0 (7F 除外)	8,160	8,160
水準GBK/5	AB - A9	40 - A0 (7F 除外)	192	166
用戶定義	AA - AF	A1 - FE	564	
用戶定義	F8 - FE	A1 - FE	658	
用戶定義	A1 - A7	40 - A0 (7F 除外)	672	
合計：			23,940	21,886



对于常用字而言，一般分布于 GBK/2 的范围内，而对于 Unicode 码而言 0xA1~0xFE 范围内的字符全部都是可打印字符。于是我们将一个汉字的 GBK 编码拆成两个分开的字节，使用 UTF-8 对这两个字节分别解码，就会产生如下的乱码（文字化け）效果：

```
'啊'.encode('gbk')
b'\xb0\xa1'

'\xb0\xa1'
'°¡'
```

而对这样的乱码进行解码也十分容易，将两个一字节的 Unicode 码拼起来，再使用 GBK 编码解码即可：

```
1 def decrypt(c):  
2     return bytes.fromhex(''.join([hex(ord(x))[2:].zfill(2) for  
    x in c])).decode('gbk')
```

效果如下：

```
In [162]: print(enc)  
Ô-À'£-ÃãÔ²ÍæÔ-Éñ :o  
  
In [163]: dec = decrypt(enc)  
  
In [164]: print(dec)  
原来，你也玩原神 :o
```



## 1.2 Discrete Cosine Transform

众所周知，

$$\begin{aligned} \mathbf{X} &= \mathcal{F}\{\mathbf{x}\}, & X_k &= \sum_{n=0}^{N-1} x_n \cdot e^{-\frac{2\pi i}{N} kn} \\ \mathbf{x} &= \mathcal{F}^{-1}\{\mathbf{X}\}, & x_n &= \frac{1}{N} \sum_{k=0}^{N-1} X_k \cdot e^{\frac{2\pi i}{N} kn} \end{aligned}$$

对序列  $\{x_n\}$  进行偶延拓，就可以去掉虚部：

$$\mathbf{X} = \mathcal{F}\{\mathbf{x}\}, \quad X_k = 2 \sum_{n=0}^{N-1} x_n \cdot \cos \frac{(n+1/2)\pi k}{N}$$

这样就可以避免对复数的讨论。将基底归一化：

$$X_k = c(k) \sum_{n=0}^{N-1} x_n \cdot \cos \frac{(n+1/2)\pi k}{N}, \quad c(k) = \begin{cases} \sqrt{1/N}, & k=0 \\ \sqrt{2/N}, & \text{Otherwise} \end{cases}$$

在图像处理的过程中，使用的是二维的离散余弦变换，它是二维离散傅里叶变换的变体：

$$X_{k_1, k_2} = \sum_{n_1=0}^{N_1-1} \sum_{n_2=0}^{N_2-1} x_{n_1, n_2} \cdot \cos \frac{(n_1+1/2)\pi k_1}{N_1} \cos \frac{(n_2+1/2)\pi k_2}{N_2}$$

归一化后：

$$\begin{aligned} X_{k_1, k_2} &= c_1(k_1) c_2(k_2) \sum_{n_1=0}^{N_1-1} \sum_{n_2=0}^{N_2-1} x_{n_1, n_2} \cdot \cos \frac{(n_1+1/2)\pi k_1}{N_1} \cos \frac{(n_2+1/2)\pi k_2}{N_2} \\ x_{n_1, n_2} &= \sum_{k_1=0}^{N_1-1} \sum_{k_2=0}^{N_2-1} c_1(k_1) c_2(k_2) X_{k_1, k_2} \cdot \cos \frac{(n_1+1/2)\pi k_1}{N_1} \cos \frac{(n_2+1/2)\pi k_2}{N_2} \end{aligned}$$

一般  $N_1 = N_2$ ，于是可以将其表示为正交矩阵诱导的合同变换：

$$\mathbf{X} = \mathbf{C}^T \mathbf{x} \mathbf{C}, \quad \mathbf{x} = \mathbf{C} \mathbf{X} \mathbf{C}^T$$

二维离散余弦变换的意义在于，将一个块中的图像从空间域转换为频域，也即，将其分解为若干个频率不同的横向与纵向的波。于是，我们可以对图像中不同空间频率的部分进行调整，弱化人眼不容易识别的高频部分，从而达到图片压缩的效果。

### 1.3 B&W JPEG Compression

JPEG 压缩算法的核心在于，剪去图像中人眼难以识别的高频部分，再将剩下的非零空间频率系数保存下来。

#### 1.3.1 Blockwise DCT

将一幅黑白图像裁剪为若干个  $8 \times 8$  大小的子块，对于每一个子块，每个数字减去 128 以后进行离散余弦变换操作。此时，左上角的 DCT 系数  $X(0,0)$  被称作直流 (Direct Current, DC) 系数，其余的 63 个系数被称作交流 (Alternating Current, AC) 系数。该操作在浮点数的精度足够高时是无损的。

#### 1.3.2 Quantization

量化是一个有损的过程，首先我们计算如下矩阵

$$Q(u, v) = \begin{cases} \max\{\lfloor (2 - \frac{QF}{50}) Q_0(u, v) + \frac{1}{2} \rfloor, 1\}, & 50 \leq QF \leq 100 \\ \lfloor \frac{50}{QF} Q_0(u, v) + \frac{1}{2} \rfloor, & 0 < QF < 50 \end{cases}$$

其中  $QF$  是质量因子 (Quality Factor)， $Q_0$  是亮度的标准量化矩阵

$$Q_0 = \begin{pmatrix} 16 & 11 & 10 & 16 & 24 & 40 & 51 & 61 \\ 12 & 12 & 14 & 19 & 26 & 58 & 60 & 55 \\ 14 & 13 & 16 & 24 & 40 & 57 & 69 & 56 \\ 14 & 17 & 22 & 29 & 51 & 87 & 80 & 62 \\ 18 & 22 & 37 & 56 & 68 & 109 & 103 & 77 \\ 24 & 35 & 55 & 64 & 81 & 104 & 113 & 92 \\ 49 & 64 & 78 & 87 & 103 & 121 & 120 & 101 \\ 72 & 92 & 95 & 98 & 112 & 100 & 103 & 99 \end{pmatrix}$$

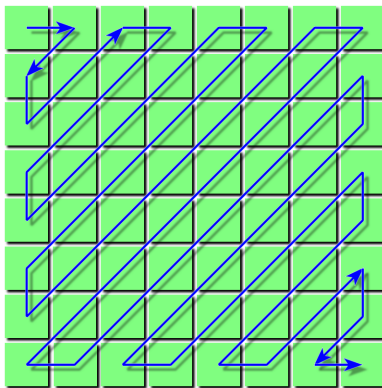
对 DCT 后得到的矩阵逐项除以  $Q$  中的对应项，四舍五入，便可以得到

形状如下的量化后的矩阵

$$\begin{pmatrix} * & \dots & * & 0 & \dots & 0 \\ \vdots & & & & & \\ * & 0 & 0 & 0 & \dots & 0 \\ 0 & 0 & 0 & 0 & \dots & 0 \\ \vdots & \vdots & \vdots & \vdots & & \vdots \\ \vdots & \vdots & \vdots & \vdots & & \vdots \\ 0 & 0 & 0 & 0 & \dots & 0 \end{pmatrix}$$

### 1.3.3 Entropy Coding

现在，按照下图中的 Z 字形顺序（zig-zag）将上一节中量化后的矩阵排列成一个序列。



使用哈夫曼编码（Huffman coding）将该序列存储下来即可，这样的存储方式可以节省不少的空间。和文本压缩存储类似的是，标志着字符串结尾的 EOF 在这里是用来标记后续序列中数字全为零的 EOB（End of Block）。

### 1.3.4 Decompression

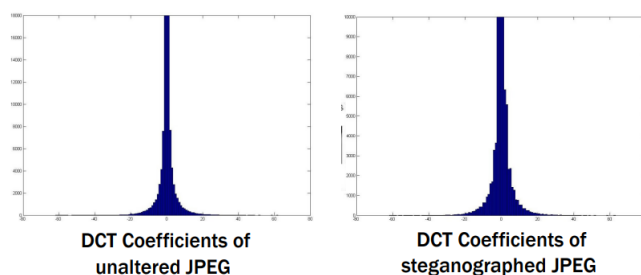
将上述过程反过来即可，需要注意的是最后需要对每个数字进行四舍五入。

## 1.4 DCT Steganography

众所周知，著名的 LSB (Least Significant Bit) 隐写是在图像的空间域上隐藏数据，然而，对于一般的 LSB 隐写而言，通过将一幅图片各个像素的 LSB 位描绘出来便可以发现是否存在这种隐写方式，并且图片压缩后密文数据便会损坏，而将密文隐藏在频域则可以尽量避开这些缺点。

我们可以将密文嵌入量化后的矩阵中除了  $-1, 0, 1$  以外的 AC 系数的最低位 (频域上的 LSB 隐写)。也可以控制某两个 AC 系数的大小关系，为了使这种大小关系在量化前后尽可能地一致，我们需要寻找量化表中的两个值接近并且较小的项，就比如  $Q(5, 2)$  和  $Q(4, 3)$ ， $Q(4, 1)$  和  $Q(3, 2)$ ， $Q(1, 2)$  和  $Q(3, 0)$ 。

频域上 LSB 隐写的检测方法：对于原始图像而言，DCT 系数分布的直方图比较对称，而对于一般的 DCT 隐写而言，图像会稍有偏移。更精确的判据可以用  $\chi^2$  测试来刻画 (挖坑)。



## 2 Crypto

### 2.1 Hensel's Lifting Lemma



**Theorem.** 若  $f(x) \in \mathbb{Z}[x]$ ,  $p \in \mathbb{P}$ ,  $x, s \in \mathbb{Z}$ ,  $p^s \mid f(x)$ ,  $\gcd(f'(x), p) = 1$ , 则  $\exists x' \in \mathbb{Z}$ ,  $x' \equiv x \pmod{p^s}$ , 且

$$x' \equiv x - uf(x) \pmod{p^{s+1}}, \quad u \in \mathbb{Z}, \quad uf'(x) \equiv 1 \pmod{p}$$

该定理可以在已知  $f(x) \equiv 0 \pmod{p^k}$  的解的情况下获得  $f(x) \equiv 0 \pmod{p^{k+1}}$  的解。证明的思路是对  $f$  使用泰勒公式：

$$x' = x + tp^s$$

$$f(x') = f(x) + f'(x)tp^s + K_1 \cdot p^{s+1}, \quad K_1 \in \mathbb{Z}$$

$$\Rightarrow f(x') \equiv 0 \pmod{p^{s+1}}$$

$$\Leftrightarrow tf'(x)p^s = -f(x) + K_2 \cdot p^{s+1}, \quad K_2 \in \mathbb{Z}$$

$$\Leftrightarrow t \equiv -\frac{uf(x)}{p^s} \pmod{p}$$

□



## 2.2 Smart's Attack **SPEEDRUN!! Really Speeeedy :p**

设  $\#E(\mathbb{F}_p) = p$ , 而  $\psi_p(S) = -\frac{x(S)}{y(S)}$  是由  $E_1(\mathbb{Q}_p)$  到  $p\mathbb{Z}_p$  的同构, 其中  $E_1(\mathbb{Q}_p) = \text{Ker}\varphi$ , 而同态  $\varphi: E(\mathbb{Q}_p) \rightarrow E(\mathbb{F}_p)$  被定义为将点的每个分量对  $p$  取模。

于是由  $Q = kP$ ,  $Q, P \in E(\mathbb{F}_p)$  立即得到

$$k = \frac{\psi_p(pQ')}{\psi_p(pP')}$$

其中  $Q', P'$  为  $Q, P$  “lift” 至  $E(\mathbb{Q}_p)$  后得到的点。